

JP

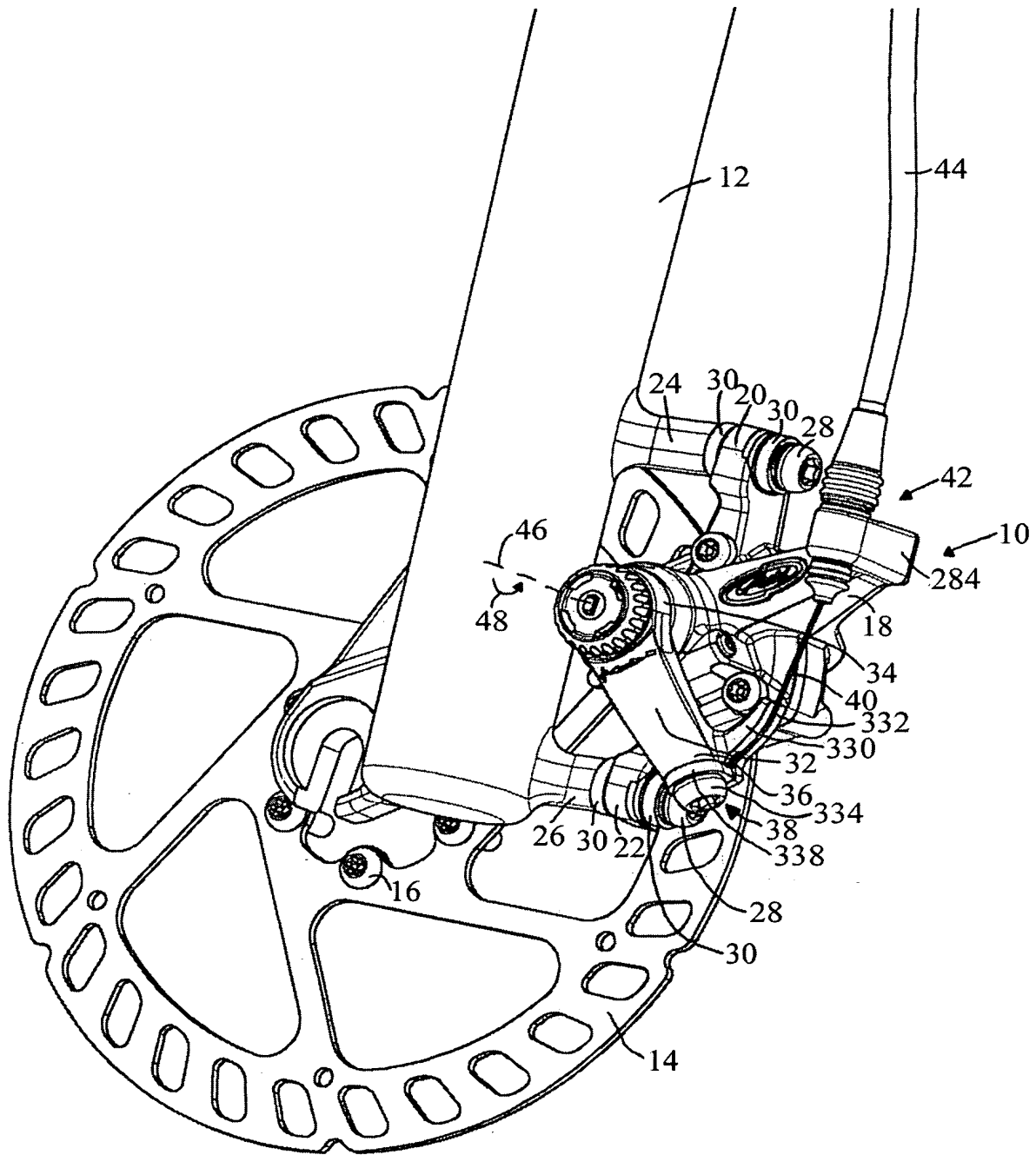


Fig. 1

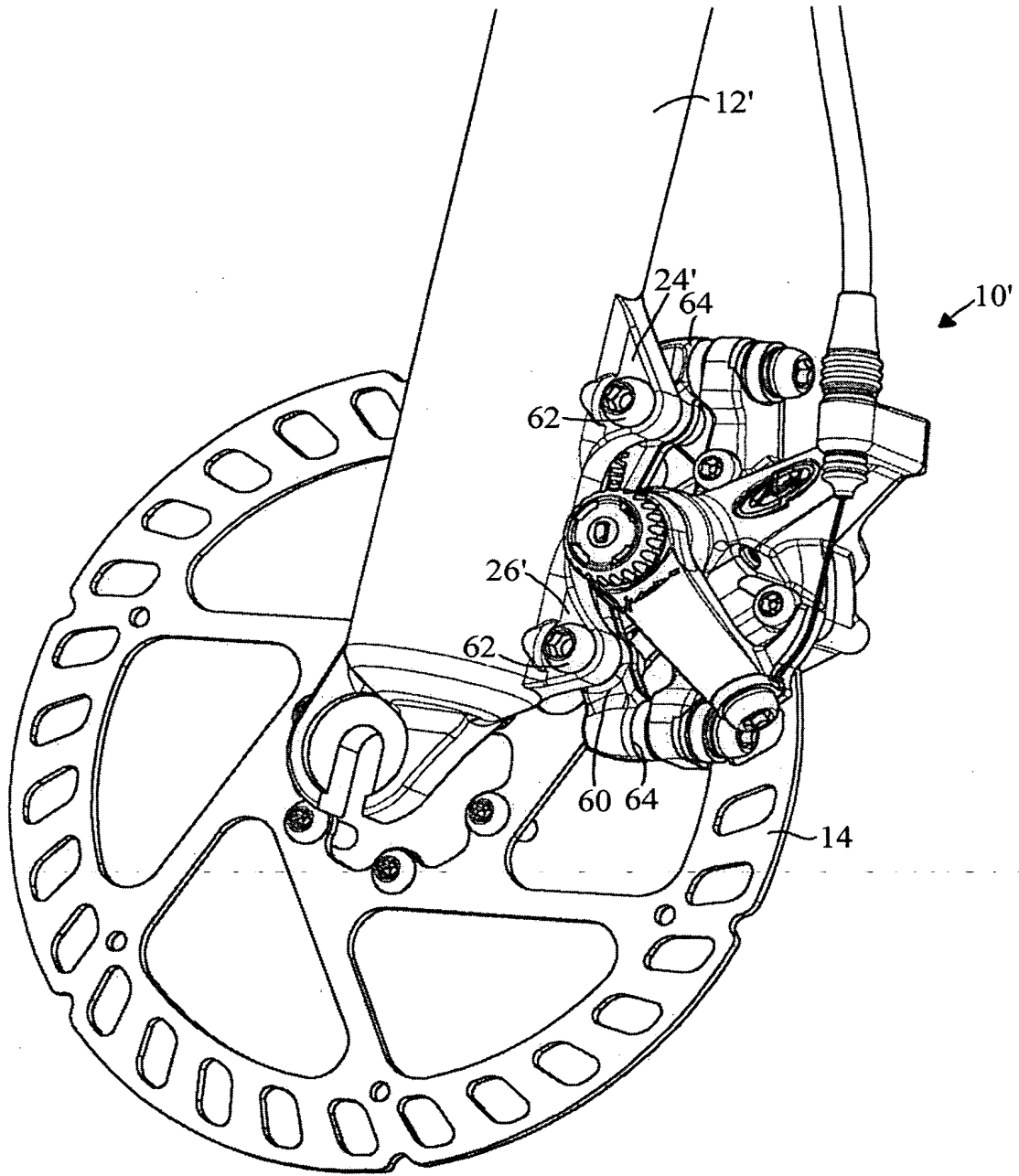


Fig. 2

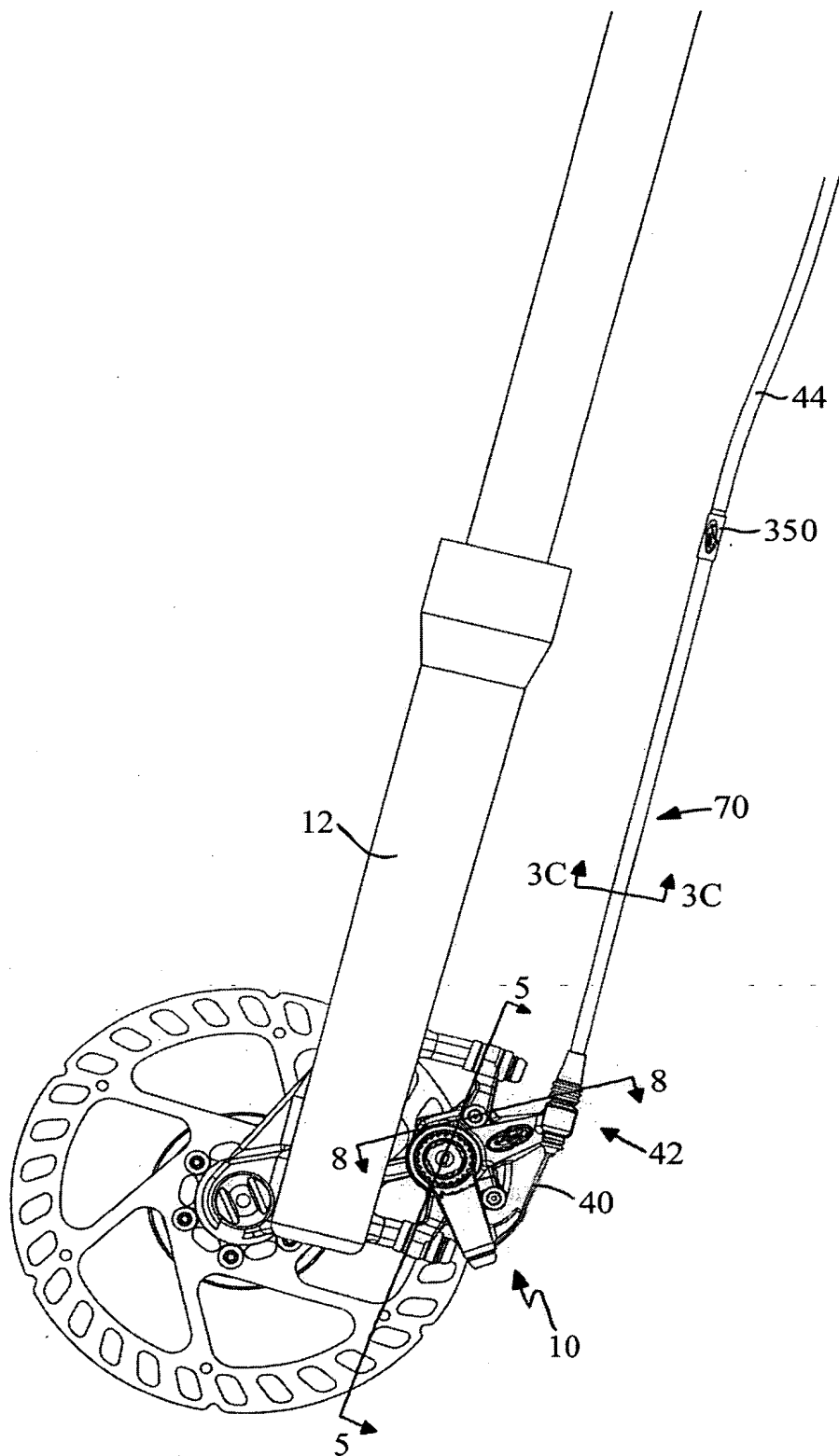


Fig. 3A

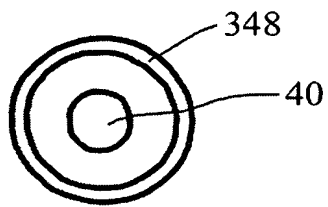


Fig. 3C

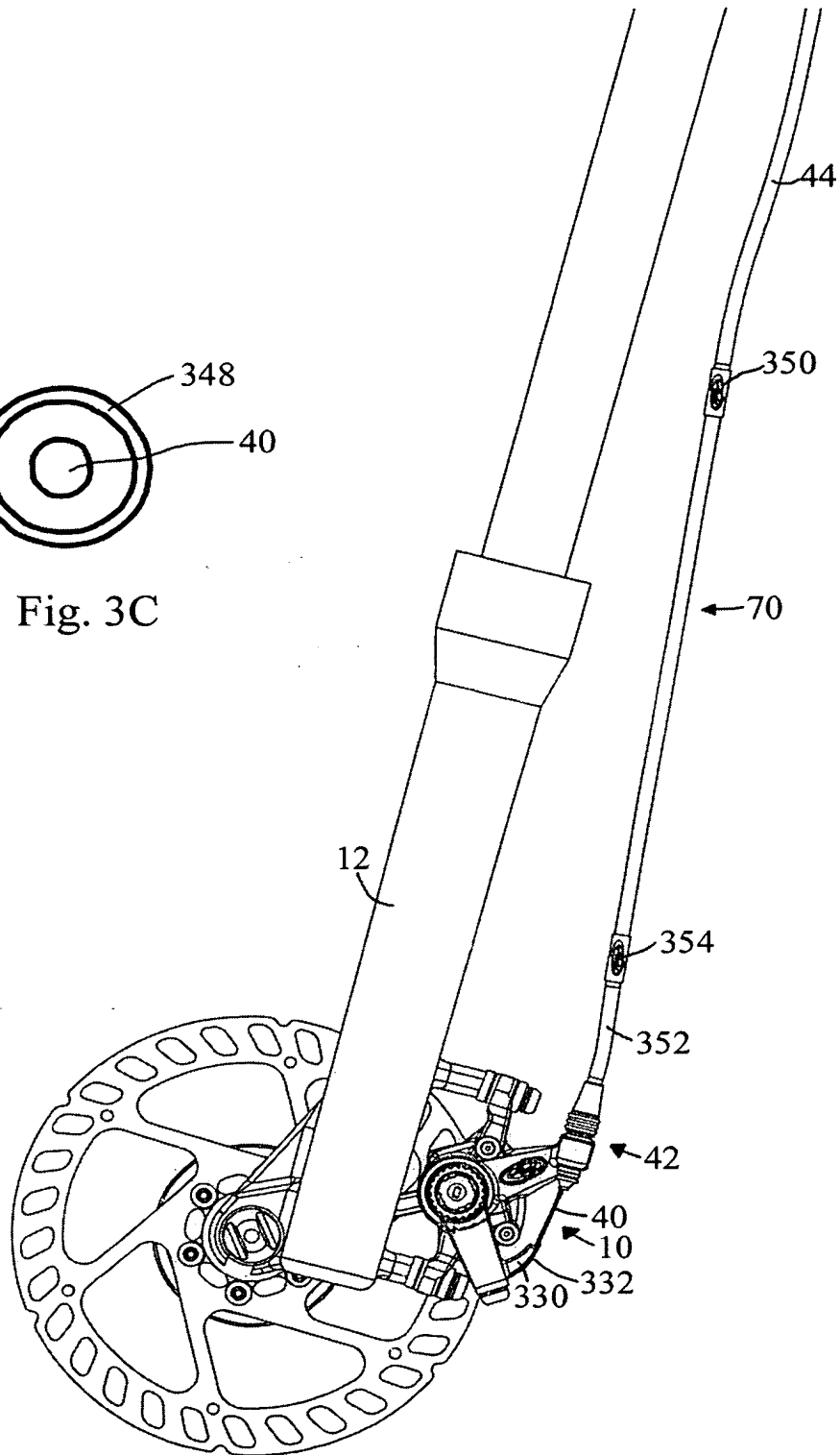
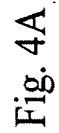


Fig. 3B



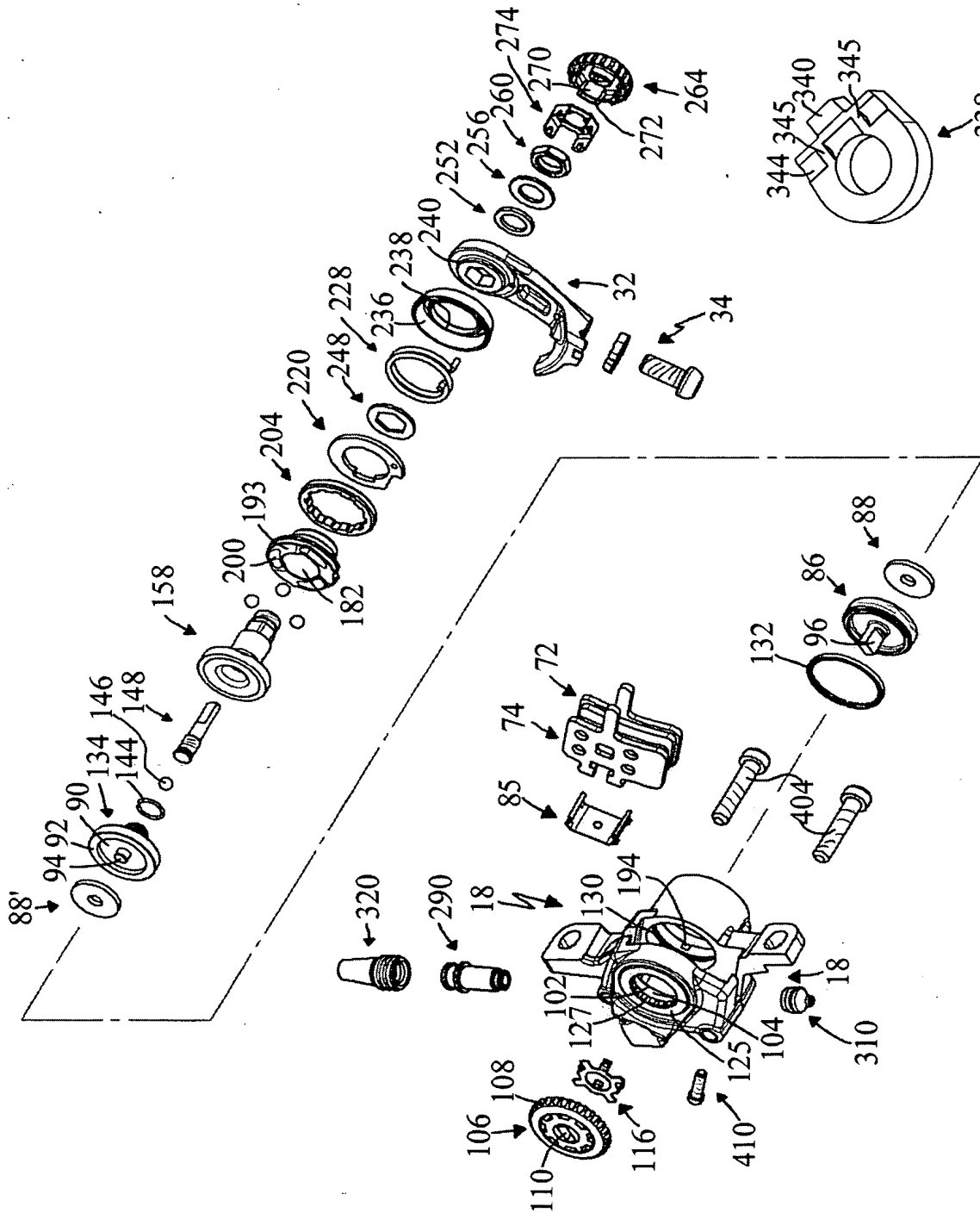


Fig. 4B

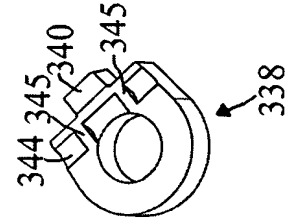


Fig. 4C

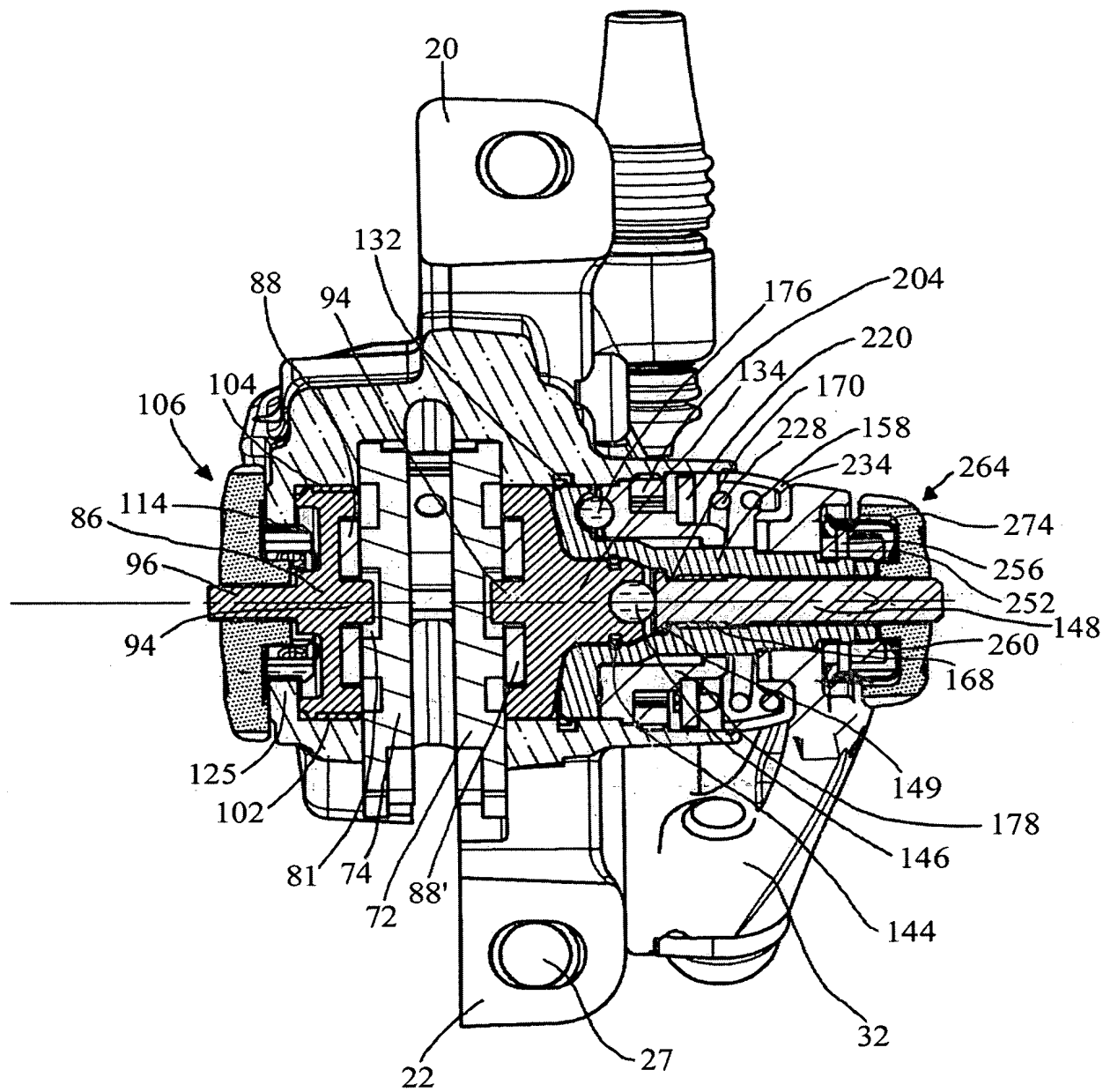


Fig. 5

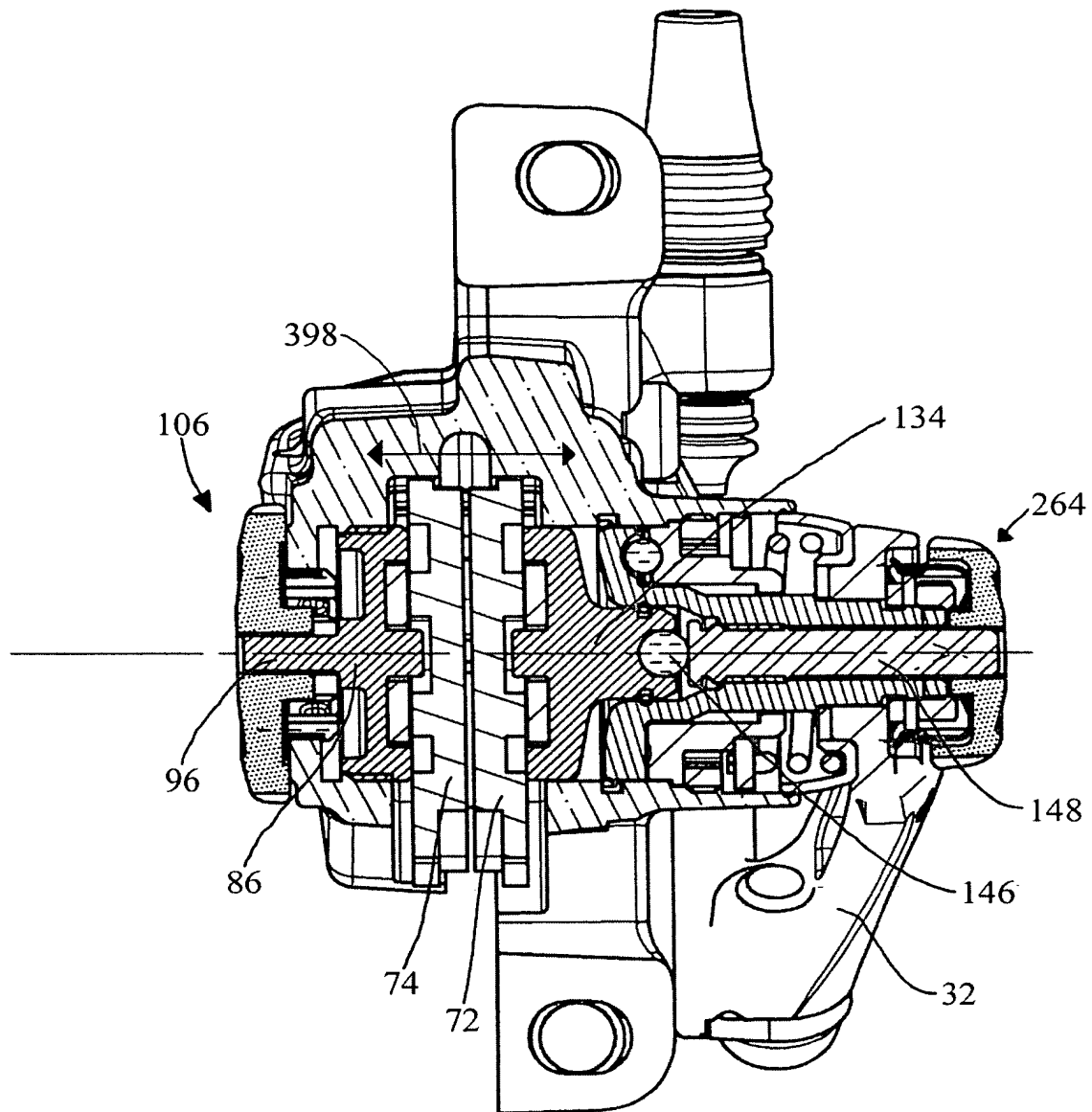


Fig. 6



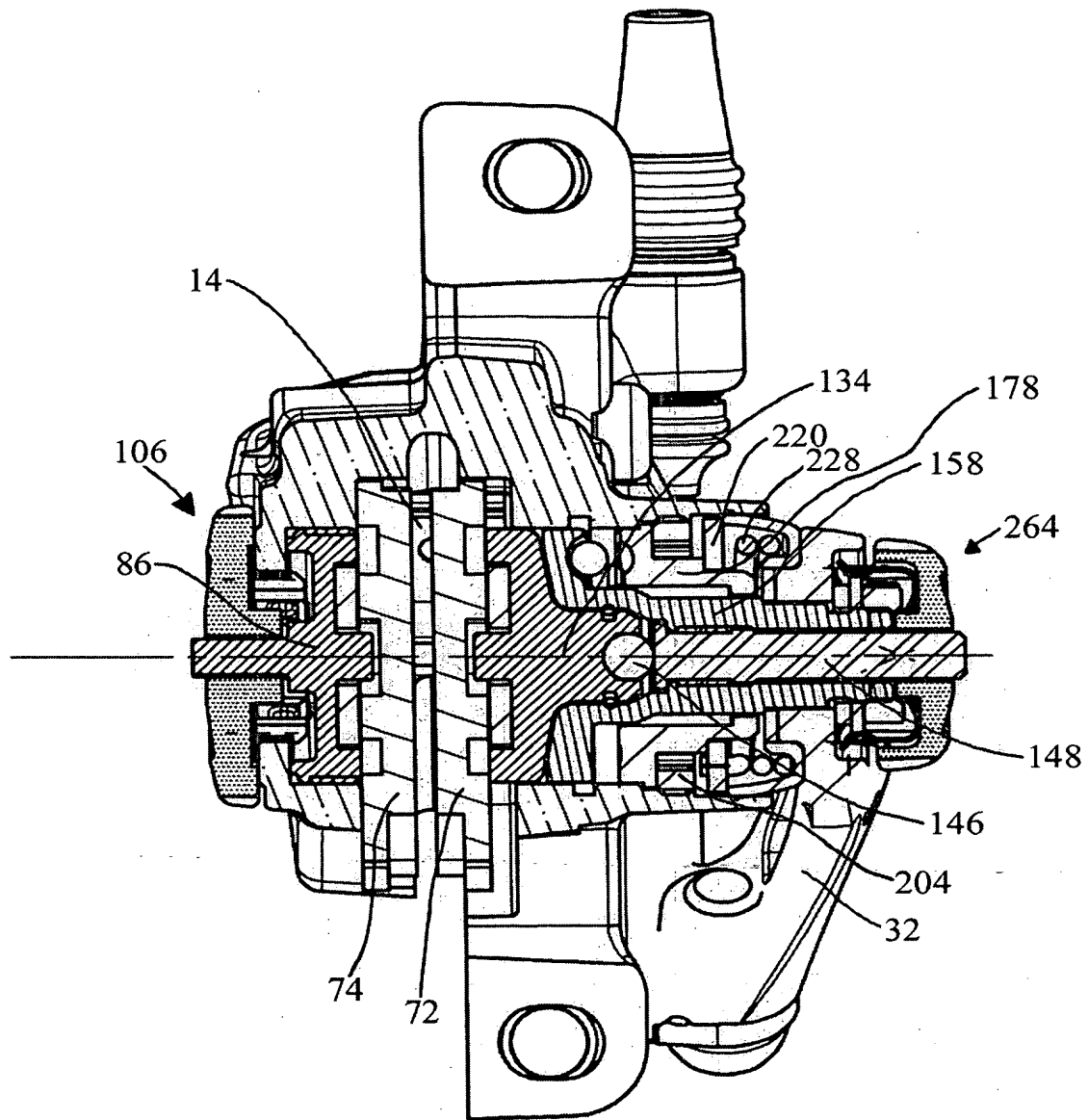


Fig. 7

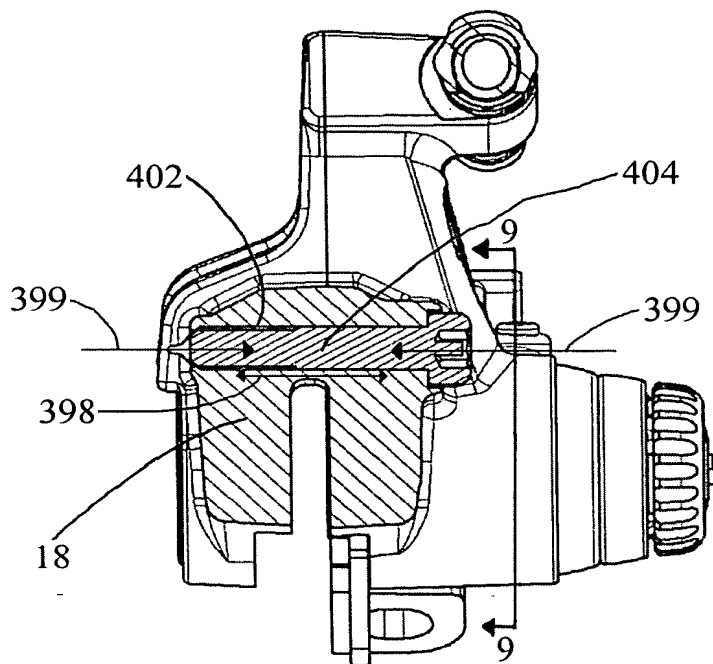


Fig. 8

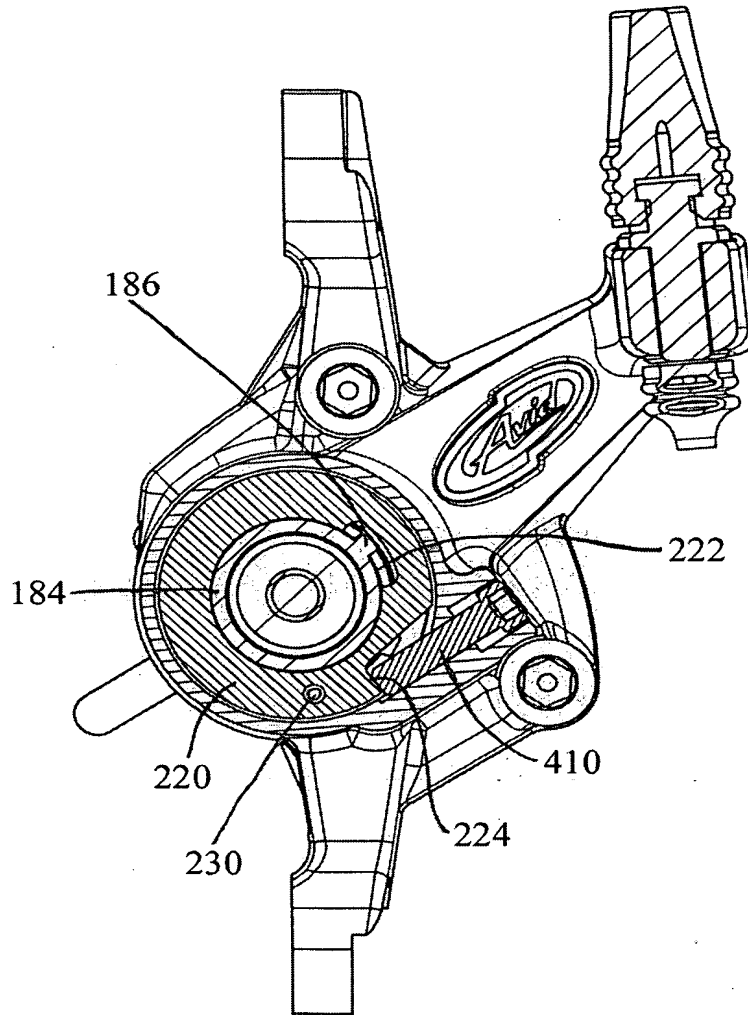


Fig. 9

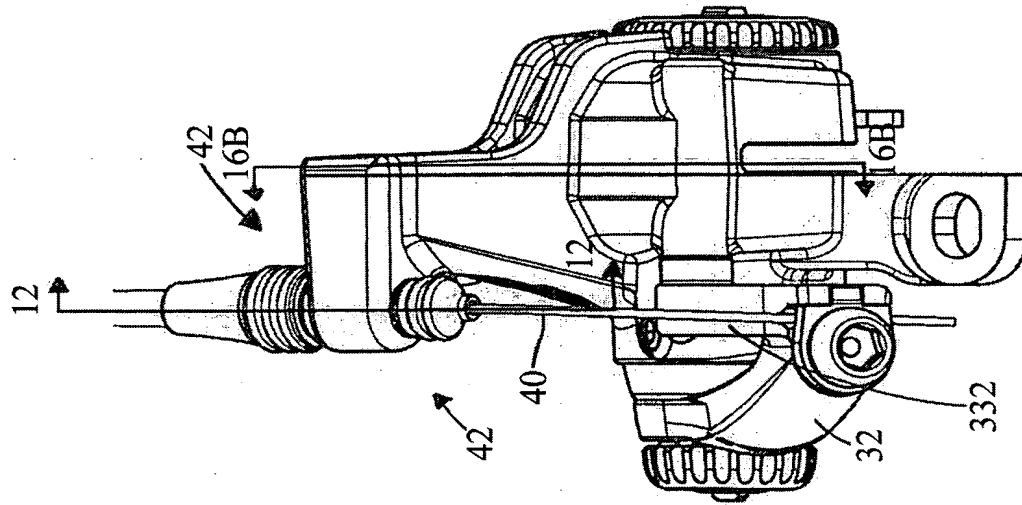


Fig. 10

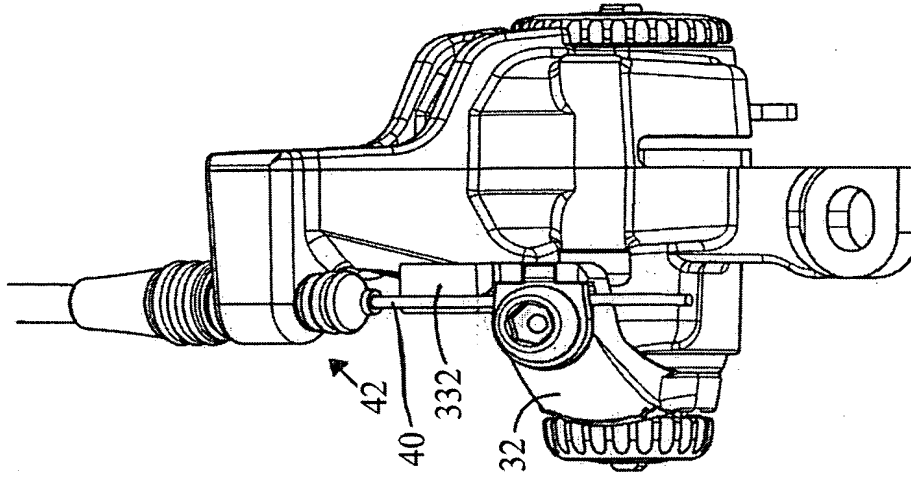


Fig. 11

FIG. 10 3/26/2013

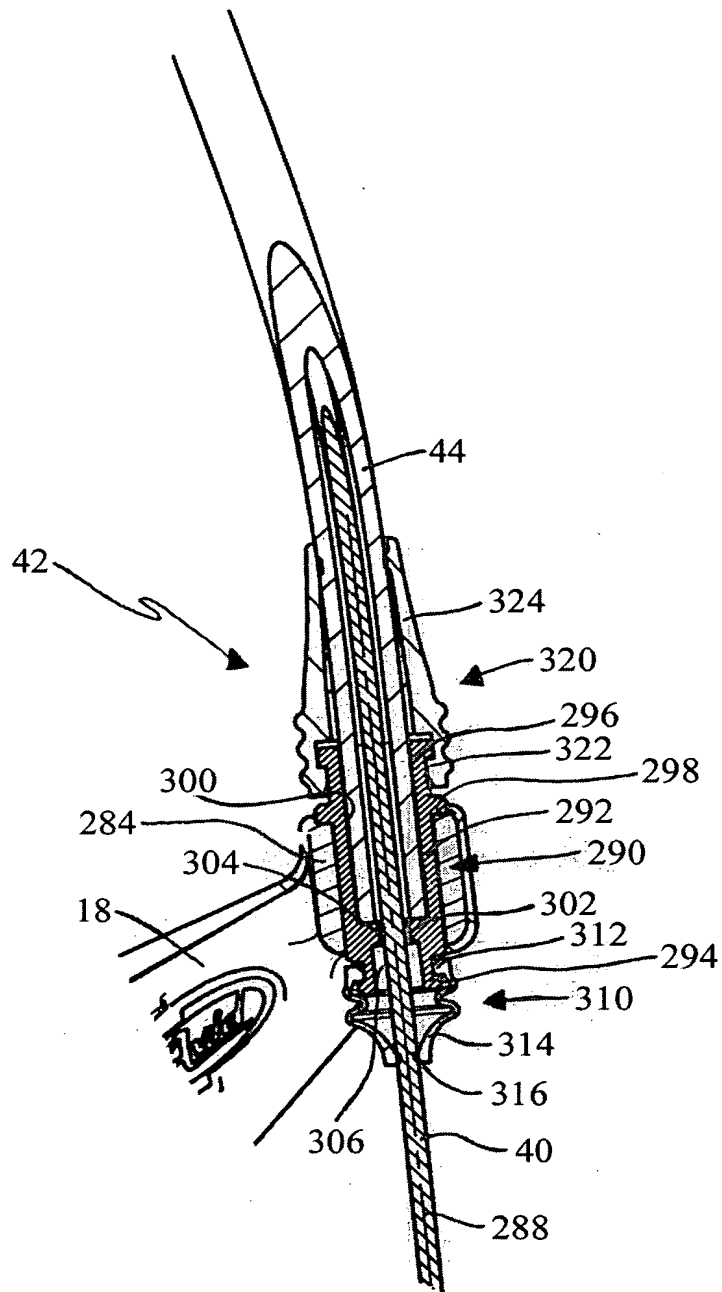


Fig. 12

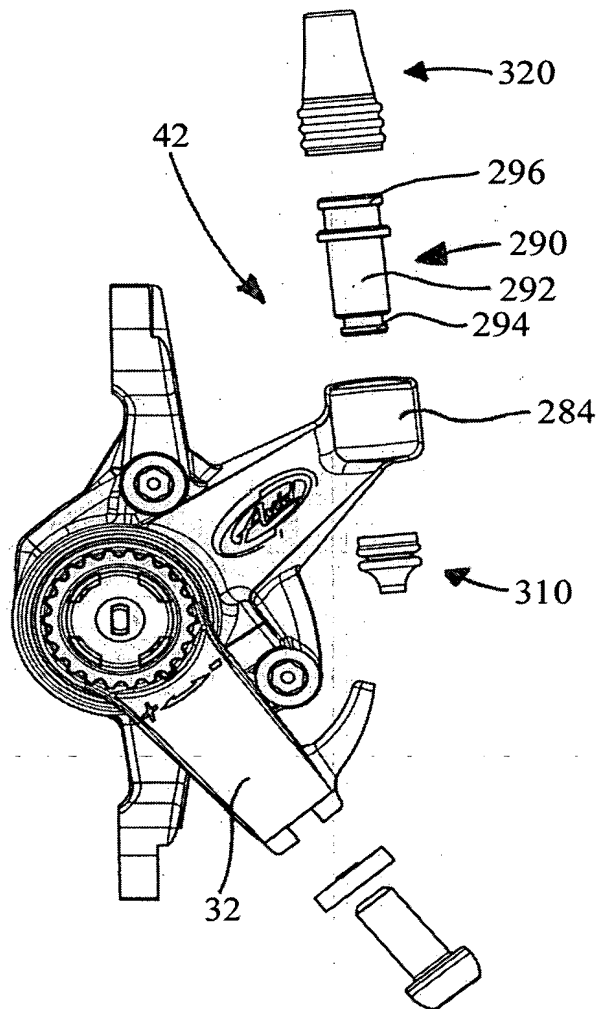


Fig. 13

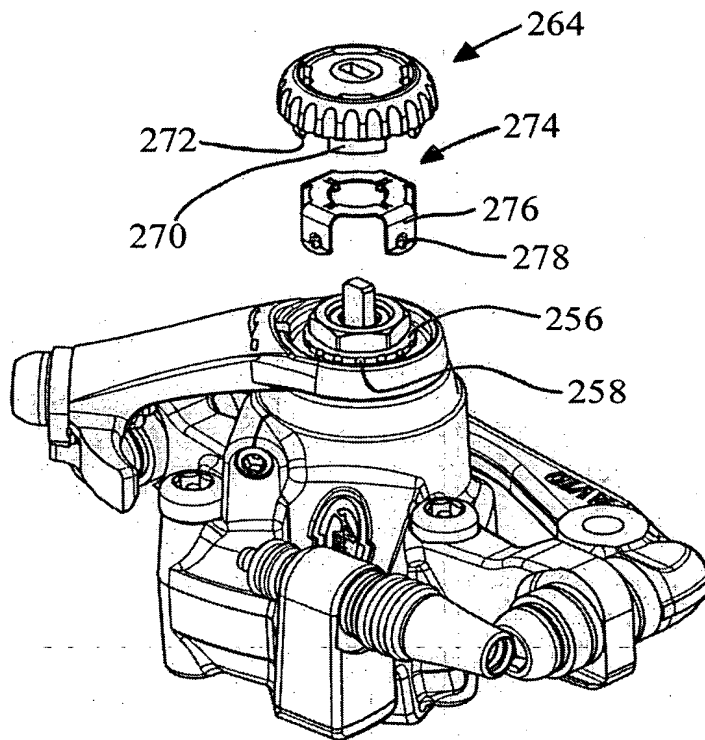


Fig. 14

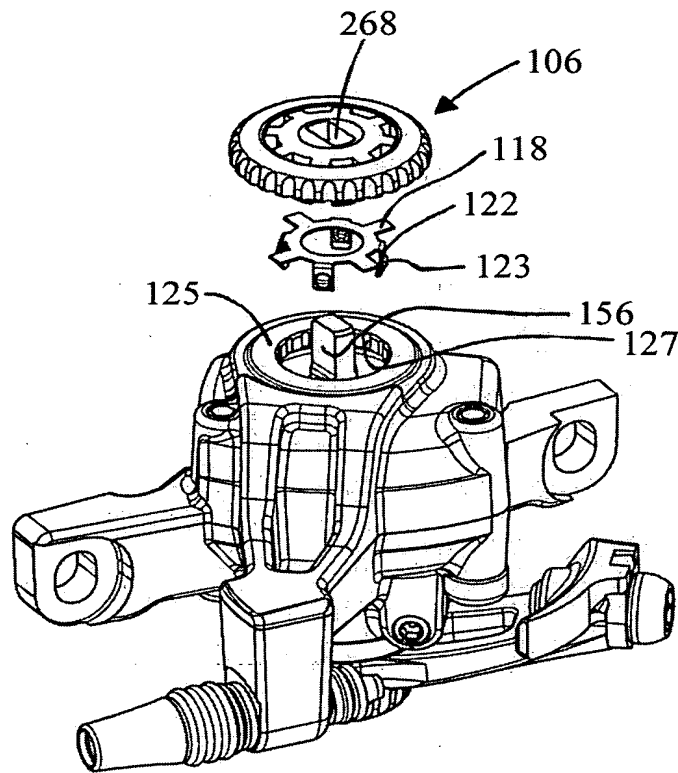
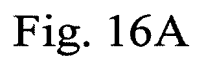


Fig. 15





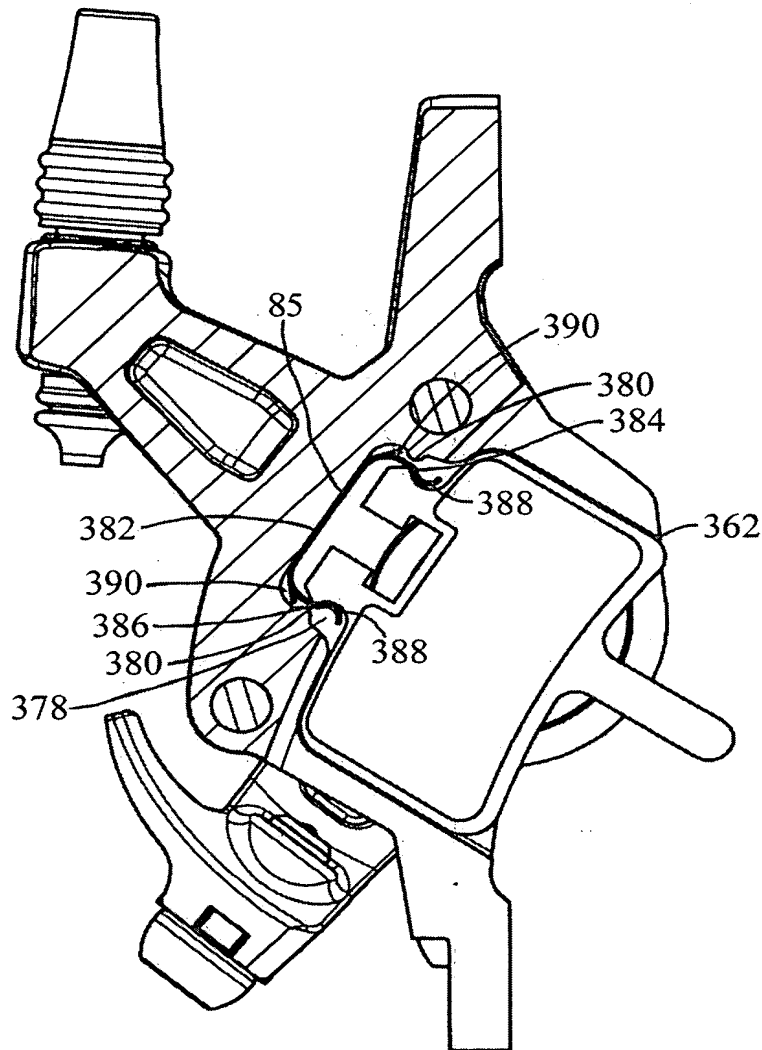


Fig. 16B

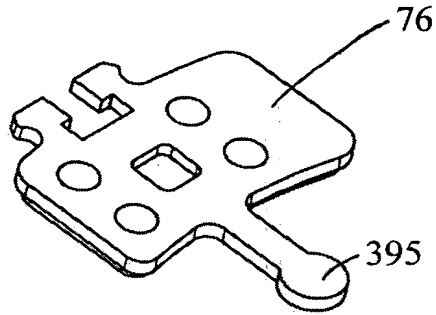


Fig. 17A

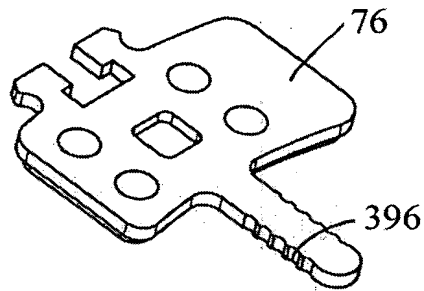


Fig. 17B

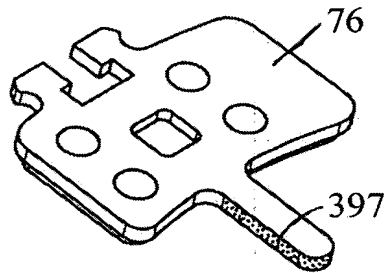


Fig. 17C

FIG. 17A

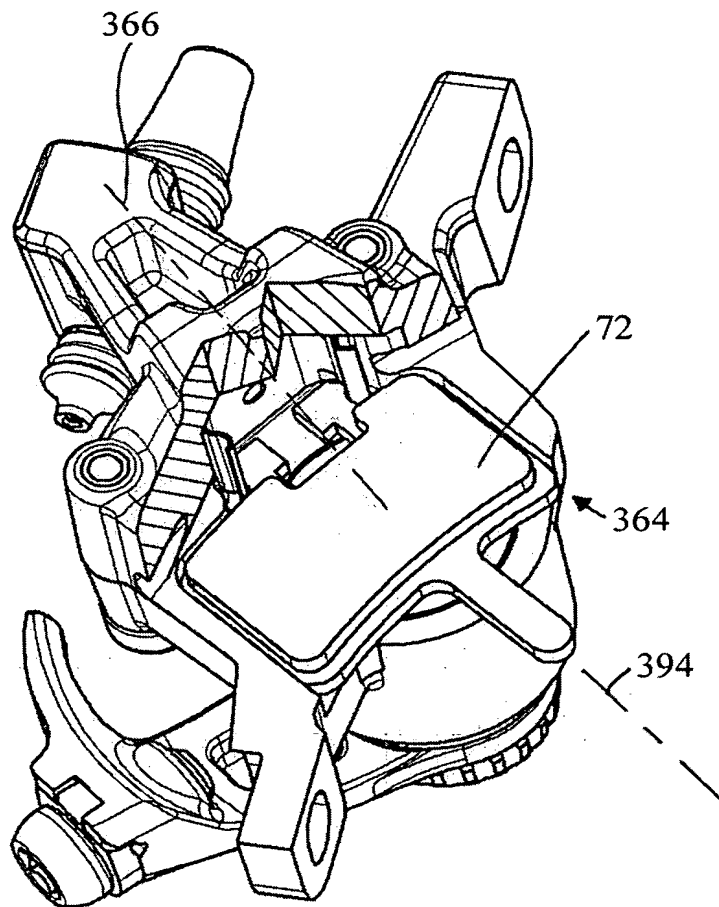


Fig. 18

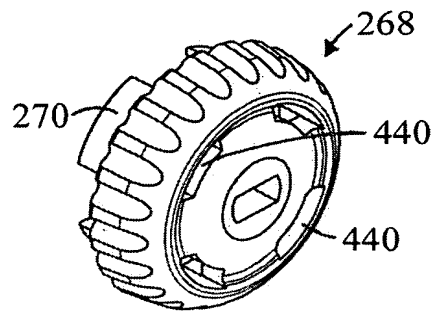


Fig. 19

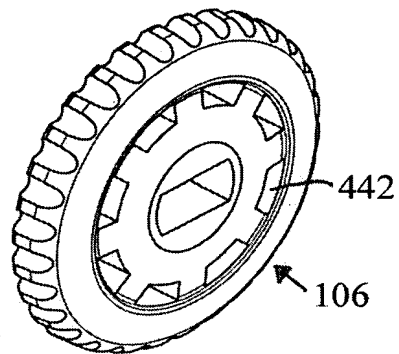


Fig. 21

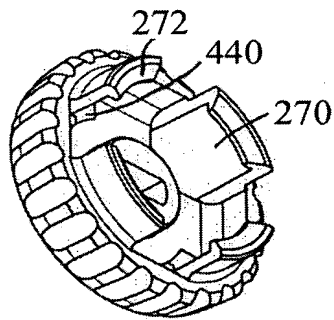


Fig. 20

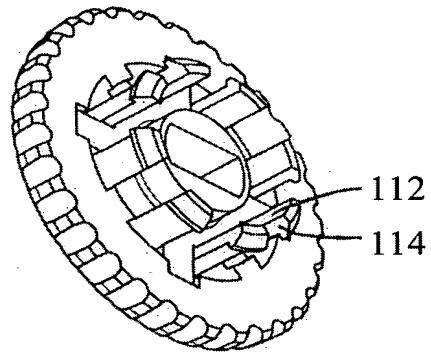


Fig. 22

FIG. 19

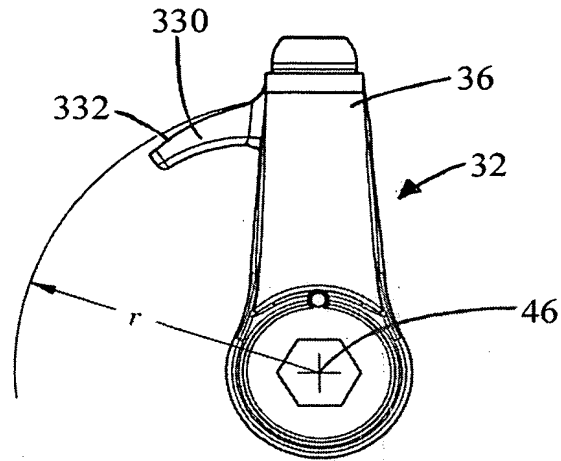


Fig. 23

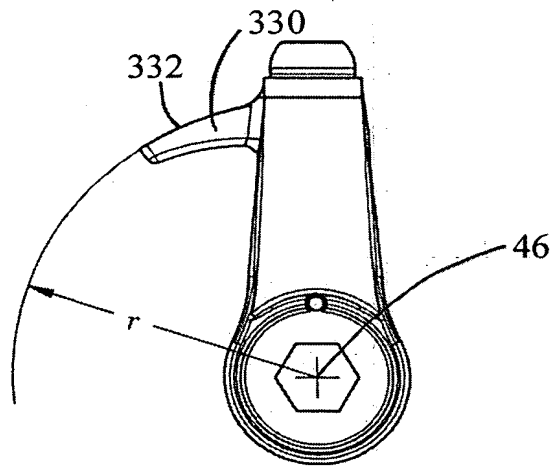


Fig. 24

FIG. 23

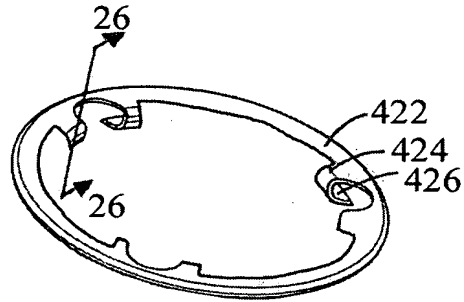


Fig. 25

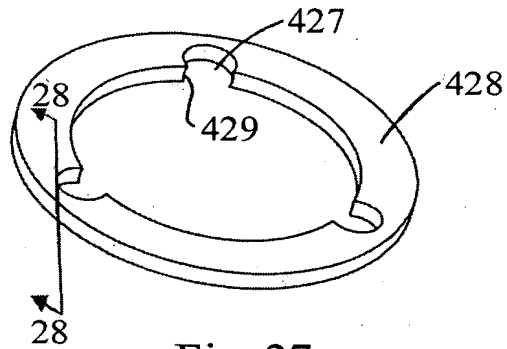


Fig. 27

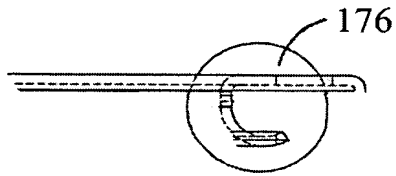


Fig. 26

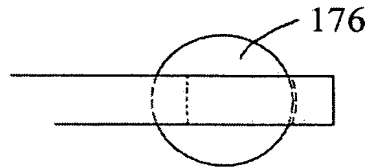


Fig. 28

FIG. 25

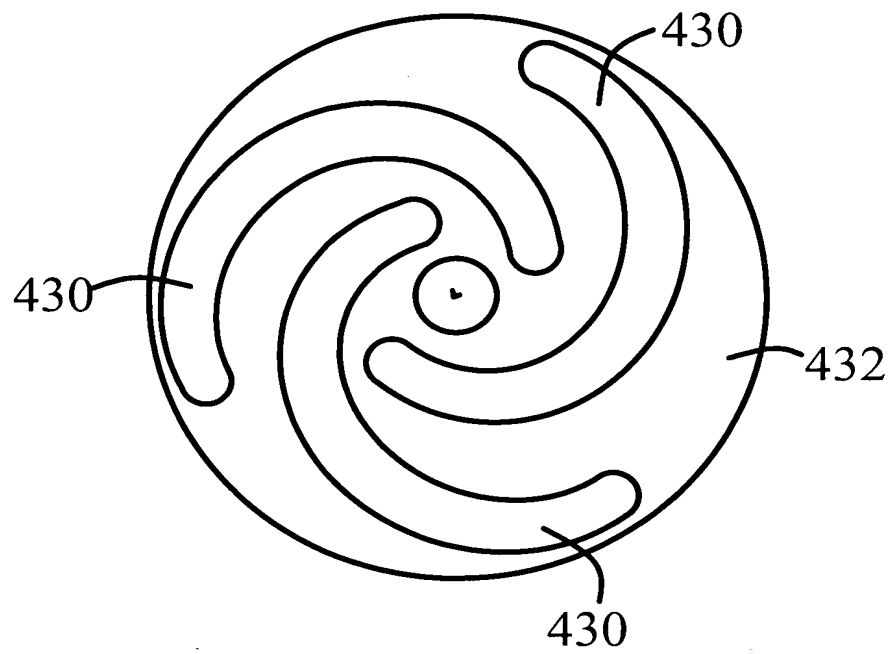


Fig. 29